

(19) 日本国特許庁(JP)

(12) 公開特許公報(A)

(11) 特許出願公開番号

特開2019-153047

(P2019-153047A)

(43) 公開日 令和1年9月12日(2019.9.12)

(51) Int. Cl.
G06N 5/04 (2006.01)

F I
G06N 5/04

テーマコード (参考)

審査請求 未請求 請求項の数 4 O L (全 17 頁)

(21) 出願番号 特願2018-37413 (P2018-37413)
(22) 出願日 平成30年3月2日 (2018.3.2)

(71) 出願人 000004226
日本電信電話株式会社
東京都千代田区大手町一丁目5番1号
(71) 出願人 504132272
国立大学法人京都大学
京都府京都市左京区吉田本町36番地1
(74) 代理人 100107766
弁理士 伊東 忠重
(74) 代理人 100070150
弁理士 伊東 忠彦
(74) 代理人 100124844
弁理士 石原 隆治
(72) 発明者 西野 正彬
東京都千代田区大手町一丁目5番1号 日
本電信電話株式会社内

最終頁に続く

(54) 【発明の名称】 生成装置、生成方法及びプログラム

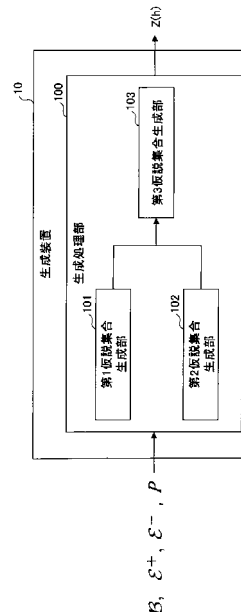
(57) 【要約】 (修正有)

【課題】 帰納論理プログラミングの全ての解を得る生成装置、生成方法及びプログラムを提供する。

【解決手段】 帰納論理プログラミングの問題の解となる論理プログラムを表す仮説の各々を示す情報を生成する生成装置であって、正例の訓練例を示す基礎原子論理式の集合 S^+ に含まれる基礎原子論理式 E が背景知識 B と仮説 H_1 との和集合の論理的帰結となるような仮説 H_1 に対応する論理関数 f を表す第1の二分決定図を構築する第1の生成手段と、負例の仮説 H_2 に対応する論理関数 g を表す第2の二分決定図を構築する第2の生成手段と、前記第1の二分決定図の各々と、前記第2の二分決定図の各々とを Apply 演算することで、第3の二分決定図を生成する第3の生成手段と、を有する。

【選択図】 図2

本発明の実施の形態における生成装置の機能構成の一例を示す図



【特許請求の範囲】

【請求項 1】

帰納論理プログラミングの問題の解となる論理プログラムを表す仮説 の各々を示す情報を生成する生成装置であって、

背景知識 B と、正例の訓練例を示す基礎原子論理式の集合 \mathcal{P}^+ と、前記仮説 に含まれる縮小確定節の集合 P とが入力されると、前記集合 \mathcal{P}^+ に含まれる各基礎原子論理式 E について、該基礎原子論理式 E が前記背景知識 B と仮説 \mathcal{H}_1 との和集合の論理的帰結となるような仮説 \mathcal{H}_1 に対応する論理関数 f を表す第 1 の二分決定図を構築する第 1 の生成手段と、

前記背景知識 B と、負例の訓練例を示す基礎原子論理式の集合 \mathcal{P}^- と、前記集合 P とが入力されると、前記集合 \mathcal{P}^- に含まれる各基礎原子論理式 E について、該基礎原子論理式 E が前記背景知識 B と仮説 \mathcal{H}_2 との和集合の論理的帰結となるような仮説 \mathcal{H}_2 に対応する論理関数 g を表す第 2 の二分決定図を構築する第 2 の生成手段と、

前記第 1 の二分決定図の各々と、前記第 2 の二分決定図の各々とを Apply 演算することで、第 3 の二分決定図を生成する第 3 の生成手段と、

を有し、

前記第 1 の生成手段及び第 2 の生成手段は、

前記基礎原子論理式 E を論理的帰結とする仮説の集合を表現する論理関数を [E]、前記集合 P に含まれる各縮小確定節 $A = B_1, \dots, B_n$ のうち、代入 θ に対して $E = A$ を満たす縮小確定節 $A = B_1, \dots, B_n$ の添え字の集合を J_E として、

【数 1 4】

$$[E] = \bigvee_{i \in J_E} \left[x_i \wedge \left(\bigwedge_{j=1}^{n_i} [B_j \theta_i] \right) \right]$$

を再帰的に Apply 演算することで、前記第 1 の二分決定図及び前記第 2 の二分決定図をそれぞれ構築する、ことを特徴とする生成装置。

【請求項 2】

前記第 3 の生成手段は、

前記第 1 の二分決定図の各々を表す M 個の論理関数を f_1, \dots, f_M 、前記第 2 の二分決定図の各々を表す K 個の論理関数を g_1, \dots, g_K として、

【数 1 5】

$$h = \left(\bigwedge_{i=1}^M f_i \right) \wedge \left(\bigwedge_{i=1}^K \neg g_i \right)$$

によって表される前記第 3 の二分決定図を Apply 演算により生成する、ことを特徴とする請求項 1 に記載の生成装置。

【請求項 3】

帰納論理プログラミングの問題の解となる論理プログラムを表す仮説 の各々を示す情報を生成するコンピュータが、

背景知識 B と、正例の訓練例を示す基礎原子論理式の集合 \mathcal{P}^+ と、前記仮説 に含まれ

得る縮小確定節の集合 P とが入力されると、前記集合 Σ^+ に含まれる各基礎原子論理式 E について、該基礎原子論理式 E が前記背景知識 B と仮説 θ_1 との和集合の論理的帰結となるような仮説 θ_1 に対応する論理関数 f を表す第 1 の二分決定図を構築する第 1 の生成手順と、

前記背景知識 B と、負例の訓練例を示す基礎原子論理式の集合 Σ^- と、前記集合 P とが入力されると、前記集合 Σ^- に含まれる各基礎原子論理式 E について、該基礎原子論理式 E が前記背景知識 B と仮説 θ_2 との和集合の論理的帰結となるような仮説 θ_2 に対応する論理関数 g を表す第 2 の二分決定図を構築する第 2 の生成手順と、

前記第 1 の二分決定図の各々と、前記第 2 の二分決定図の各々とを Apply 演算することで、第 3 の二分決定図を生成する第 3 の生成手順と、

を実行し、

前記第 1 の生成手順及び第 2 の生成手順は、

前記基礎原子論理式 E を論理的帰結とする仮説の集合を表現する論理関数を $[E]$ 、前記集合 P に含まれる各縮小確定節 $A = B_1, \dots, B_n$ のうち、代入 θ に対して $E = A$ を満たす縮小確定節 $A = B_1, \dots, B_n$ の添え字の集合を J_E とし、

【数 16】

$$[E] = \bigvee_{i \in J_E} \left[x_i \wedge \left(\bigwedge_{j=1}^{n_i} [B_j \theta_i] \right) \right]$$

10

20

を再帰的に Apply 演算することで、前記第 1 の二分決定図及び前記第 2 の二分決定図をそれぞれ構築する、ことを特徴とする生成方法。

【請求項 4】

コンピュータを、請求項 1 又は 2 の何れか一項に記載の生成装置における各手段として機能させるためのプログラム。

【発明の詳細な説明】

30

【技術分野】

【0001】

本発明は、生成装置、生成方法及びプログラムに関する。

【背景技術】

【0002】

論理プログラムを用いた機械学習手法である帰納論理プログラミング (ILP: Inductive Logic Programming) が従来から知られている (非特許文献 1)。帰納論理プログラミングでは、与えられた訓練データ (以降では、「訓練例」とも表す。) と整合性がとれるような論理プログラムを推定する技術である。このため、帰納論理プログラミングにより、論理プログラムを手で設計しなくても、訓練例を与えるだけで、これらの訓練例と整合性がとれるような論理プログラムを獲得することができる。

40

【先行技術文献】

【非特許文献】

【0003】

【非特許文献 1】山本, 「帰納論理プログラミングの基礎理論とその展開」, コンピュータソフトウェア, Vol.23, No. 2, pp. 29-44, 2006.

【発明の概要】

【発明が解決しようとする課題】

【0004】

ここで、従来の帰納論理プログラミングのアルゴリズムでは、与えられた訓練例と矛盾

50

しない論理プログラム（解）を1つ獲得することを目的としている。しかしながら、実際には訓練例と矛盾しないような解が多数存在する可能性がある。

【0005】

このため、従来の帰納論理プログラミングでは、与えられた訓練例と矛盾しない解を複数列挙することができず、例えば、与えられた訓練例と矛盾しない論理プログラムの中から所望の条件を満たす最適な論理プログラムを求めたい等の要求に応えることが困難であった。

【0006】

本発明の実施の形態は、上記の点に鑑みてなされたもので、帰納論理プログラミングの全ての解を得ることを目的とする。

【課題を解決するための手段】

【0007】

上記目的を達成するため、本発明の実施の形態は、帰納論理プログラミングの問題の解となる論理プログラムを表す仮説₀の各々を示す情報を生成する生成装置であって、背景知識Bと、正例の訓練例を示す基礎原子論理式の集合 \mathcal{E}^+ と、前記仮説₀に含まれ得る縮小確定節の集合Pとが入力されると、前記集合 \mathcal{E}^+ に含まれる各基礎原子論理式Eについて、該基礎原子論理式Eが前記背景知識Bと仮説₁との和集合の論理的帰結となるような仮説₁に対応する論理関数fを表す第1の二分決定図を構築する第1の生成手段と、前記背景知識Bと、負例の訓練例を示す基礎原子論理式の集合 \mathcal{E}^- と、前記集合Pとが入力されると、前記集合 \mathcal{E}^- に含まれる各基礎原子論理式Eについて、該基礎原子論理式Eが前記背景知識Bと仮説₂との和集合の論理的帰結となるような仮説₂に対応する論理関数gを表す第2の二分決定図を構築する第2の生成手段と、前記第1の二分決定図の各々と、前記第2の二分決定図の各々とをApply演算することで、第3の二分決定図を生成する第3の生成手段と、を有し、前記第1の生成手段及び第2の生成手段は、前記基礎原子論理式Eを論理的帰結とする仮説の集合を表現する論理関数を[E]、前記集合Pに含まれる各縮小確定節 $A \ B_1, \dots, B_n$ のうち、代入 σ に対して $E = A \ \sigma$ を満たす縮小確定節 $A \ B_1, \dots, B_n$ の添え字の集合を J_E として、所定の式を再帰的にApply演算することで、前記第1の二分決定図及び前記第2の二分決定図をそれぞれ構築する、ことを特徴とする。

【発明の効果】

【0008】

帰納論理プログラミングの全ての解を得ることができる。

【図面の簡単な説明】

【0009】

【図1】二分決定図の一例を示す図である。

【図2】本発明の実施の形態における生成装置の機能構成の一例を示す図である。

【図3】本発明の実施の形態における生成処理部が実行する処理の流れの一例を示すフローチャートである。

【図4】本発明の実施の形態における生成装置のハードウェア構成の一例を示す図である。

【発明を実施するための形態】

【0010】

以下、本発明の実施の形態について説明する。本発明の実施の形態では、帰納論理プログラミングにおいて、与えられた訓練例と整合性がとれる論理プログラムを全て得ることを目的とする。ただし、帰納論理プログラミングの解となる論理プログラムの数は指数的に増加する可能性がある。このため、これらの全ての論理プログラムを出力するようなシステムは現実的な設定では動作しない可能性がある。そこで、全ての論理プログラムを出力するのではなく、全ての解の集合を表す二分決定図（BDD：Binary Decision Diagram）を構築することで、これら全ての論理プログラムの列挙を実現する。なお、BDDについては以下の参考文献1を参照されたい。

10

20

30

40

50

【 0 0 1 1 】

[参考文献 1]

Bryant, R.E., "Graph-Based Algorithms for Boolean Function Manipulation", IEEE Trans. Computers, Vol.C-35, No.8, pp.677-691, 1986.

BDDは、論理プログラムの集合をグラフとして表現可能なデータ構造である。BDDを用いて論理プログラムの集合を表現することで、膨大な数の論理プログラムの集合を圧縮及び索引化することができるため、計算機の記憶媒体等に格納することができるようになる。また、BDDによって表現された論理プログラムの集合から、或る条件を満たす論理プログラムを1つ取り出すような操作も効率的に実行することが可能となる。

【 0 0 1 2 】

そこで、本発明の実施の形態では、与えられた訓練例と整合性がとれる全ての論理プログラムの集合の索引を表すBDDを生成及び出力する生成装置10について説明する。

【 0 0 1 3 】

まず、本発明の実施の形態に係る生成装置10について説明する前に、いくつかの用語等について説明する。

【 0 0 1 4 】

< 一階述語論理 >

一階述語論理における項とは、(1)変数、(2)定数記号、及び(3)アリティnの関数記号fとn個の項 t_1, \dots, t_n とによって作られる記号列 $f(t_1, \dots, t_n)$ のことである。

【 0 0 1 5 】

また、アリティnの述語記号Pとn個の項 t_1, \dots, t_n とによって作られる記号列 $P(t_1, \dots, t_n)$ を原子論理式という。原子論理式A及びその否定 $\neg A$ をリテラルといい、特にAを「正リテラル」、 $\neg A$ を「負リテラル」という。リテラルの換言(すなわち、「 \neg 」)に現れる変数の全体を束縛して得られる論理式を節という。

【 0 0 1 6 】

一階述語論理における論理式の真偽値は解釈によって決定される。一階述語論理の言語Lに対する解釈Iは、空でない集合(ドメイン)Dによって決定される。すなわち、解釈Iによって、定数記号はDの要素に割り当てられ、アリティnの関数記号は D^n からDへの写像に割り当てられ、アリティnの述語記号は D^n から真偽値{True, False}への写像に割り当てられる。

【 0 0 1 7 】

論理式 ϕ が解釈Iの下で真である場合、解釈Iは ϕ のモデルであるという。論理式の集合 Σ の任意のモデルが論理式 ϕ のモデルである場合、論理式 ϕ は、論理式の集合 Σ の論理的帰結であるといい、

【 0 0 1 8 】

【 数 1 】

$$\Sigma \models \phi$$

と表す。一方で、論理式 ϕ が、論理式の集合 Σ の論理的帰結でない場合は、

【 0 0 1 9 】

10

20

30

40

【数 2】

$$\Sigma \neq \emptyset$$

と表す。

【0020】

10

また、変数を含まない原子論理式を基礎原子論理式という。同様に、変数を含まないリテラルを基礎リテラルという。変数を含まない節を基礎節という。

【0021】

一階述語論理において、変数 x_1, \dots, x_m を項 t_1, \dots, t_m に置き換えることを代入という。このような代入は、 $\sigma = \{x_1 / t_1, \dots, x_m / t_m\}$ と表される。また、一階述語論理の節 C に含まれる全ての変数 x_1, \dots, x_m を項 t_1, \dots, t_m に同時に置き換えたものを $C\sigma$ と表す。

【0022】

ここで、帰納論理プログラミングとは、節の有限集合

【0023】

20

【数 3】

$$B, \mathcal{E}^+, \mathcal{E}^-$$

が与えられた場合に、全ての節 $E \in \mathcal{E}^+$ に対して、以下の式 1 が成り立ち、

30

【0024】

【数 4】

$$\Sigma \cup B \models E \quad \dots(\text{式1})$$

40

、かつ、全ての節 $E \in \mathcal{E}^-$ に対して、以下の式 2 が成り立つような節の有限集合 B を求める問題のことである。なお、以降では、節の有限集合のことを仮説とも呼ぶ。

【0025】

【数 5】

$$\Sigma \cup B \neq E \quad \dots(\text{式}2)$$

ここで、

【0026】

10

【数 6】

 B

は背景知識とも呼ばれる。この背景知識を、以降では、「背景知識 B 」とも表す。また、 ϵ^+ は正例、 ϵ^- は負例とも呼ばれる。

20

【0027】

例えば、

【0028】

【数 7】

$$B = \emptyset.$$

$$\epsilon^+ = \{P(0), P(s(s(0))), P(s(s(s(s(0)))))\},$$

30

$$\epsilon^- = \{P(s(0)), P(s(s(s(0))))\}.$$

が与えられたとすると、仮説 $H = \{P(0), P(s(s(X))), P(x)\}$ は、この機能論理プログラミングの問題の1つの解である。なお、 P は述語記号、 s は関数記号である。また、 $P(0)$ 、 $P(s(s(X)))$ 、 $P(x)$ は確定節を表す。

【0029】

確定節とは、正リテラルをちょうど1つ含む節のことである。確定節は、原子論理式 A 、 B_1, \dots, B_n を用いて、 $A \leftarrow B_1, \dots, B_n$ 又は $A \leftarrow B_1, \dots, B_n$ と表される。なお、 $A \leftarrow B_1, \dots, B_n$ の形で表される確定節は単位節と呼ばれる。また、変数を含まない確定節を基礎確定節といい、変数を含まない単位節を基礎単位節という。

40

【0030】

更に、或る原子論理式 A に含まれる関数記号、定数記号及び変数記号の総数を $|A|$ と表す。任意の代入 θ 及び $i = 1, \dots, n$ に対して、 $|A \theta| \leq |B_i \theta|$ を満たす場合、確定節 $A \leftarrow B_1, \dots, B_n$ を縮小確定節という。

【0031】

<二分決定図>

二分決定図 (BDD) は、論理関数を有向非巡回グラフとして表現するデータ構造である。一例として、論理関数 $(x_1 \wedge x_2) \vee (x_1 \wedge x_3) \vee (x_2 \wedge x_3)$ を表現する

50

BDDを図1に示す。

【0032】

BDDは、終端ノードと分岐ノードとの2種類のノードを有する。終端ノードは、当該ノードを始点とする枝(アーク)を持たないノードである。図1に示す例では、終端ノードは四角形で表されたノード(ノードn5及びノードn6)である。終端ノードには、終端ノード(以降、「第1終端ノード」という。)と、

【0033】

【数8】

10

下 終端ノード

(以下、「第2終端ノード」という。)との2種類のノードがある。1つのBDDには、第1終端ノードと第2終端ノードとがそれぞれ高々1つずつ存在する。

【0034】

一方で、分岐ノードとは、終端ノードではないノードのことである。図1に示す例では、分岐ノードは円形で表されたノード(ノードn1、ノードn2、ノードn3及びノードn4)である。各分岐ノードには、BDDによって表現される論理関数の変数全体の集合のうち、当該分岐ノードに対応する要素を表すラベルが付与される。図1に示す例では、ノードn1には、変数 x_1 を表す要素1がラベルとして付与されている。同様に、ノードn2及びノードn3には、変数 x_2 を表す要素2がラベルとして付与されている。同様に、ノードn4には、変数 x_3 を表す要素3がラベルとして付与されている。

20

【0035】

また、各分岐ノードには、当該分岐ノードを始点とする枝が必ず2つ存在し、それぞれ l_0 枝及び h_1 枝と呼ばれる。図1に示す例では、 l_0 枝は破線、 h_1 枝は実線で表されており、ノードn1の l_0 枝はノードn2を指し、 h_1 枝はノードn3を指している。この場合、ノードn1は親ノード、ノードn2及びノードn3は子ノードとなる。

30

【0036】

同様に、ノードn2の l_0 枝はノードn5を指し、 h_1 枝はノードn4を指している。この場合、ノードn2は親ノード、ノードn5及びノードn4は子ノードとなる。他のノードも同様に、ノードn3の l_0 枝及び h_1 枝はそれぞれノードn4及びノードn6を指し、ノードn3が親ノード、ノードn4及びノードn6が子ノードとなる。ノードn4の l_0 枝及び h_1 枝はそれぞれノードn5及びノードn6を指し、ノードn4が親ノード、ノードn5及びノードn6が子ノードとなる。

【0037】

BDDには親ノードを持たないノードが必ず1つのみ存在し、根ノードと呼ばれる。図1に示す例では、ノードn1が根ノードである。

40

【0038】

根ノードから第2終端ノードまでの各経路は、BDDが表現する論理関数を真とするような変数の割り当てに対応している。BDDの各経路を3つの変数(x_1, x_2, x_3)で表現することとし、各変数の値は0又は1を取るものとし、 h_1 枝を通る経路のときは変数の値が1であり、 l_0 枝を通る経路のときは変数の値が0であるものとするれば、図1に示すBDDにおいて、根ノードから第2終端ノードに至る各経路に対応する変数の割り当ては値(1, 1, *), (1, 0, 1), (0, 1, 1)で表現できる。ここで、*は0又は1のいずれかの値を割り当てることに相当する。

【0039】

例えば、(1, 1, *)は、図1に示すBDDにおいて、ノードn1、ノードn3及び

50

ノード n_6 を辿る経路を表す。ここで、この場合、変数 x_3 を表す要素 3 のラベルが付与されているノードを辿らないが、これは、図 1 に示す BDD では冗長な節点が削除されているためである（すなわち、図 1 に示す BDD は既約である。）。

【0040】

同様に、 $(1, 0, 1)$ は、図 1 に示す BDD において、ノード n_1 、ノード n_3 、ノード n_4 及びノード n_6 を辿る経路を表す。同様に、 $(0, 1, 1)$ は、図 1 に示す BDD において、ノード n_1 、ノード n_2 、ノード n_4 及びノード n_6 を辿る経路を表す。

【0041】

なお、根ノードから第 2 終端ノード（及び第 1 終端ノード）までの各経路が表現する変数の順序が同じである BDD を「順序付き BDD」ともいう。図 1 に示す BDD は順序付き BDD（より正確には、既約な順序付き BDD）である。本発明の実施の形態において、BDD は、順序付き BDD（及び既約な順序付き BDD）であるものとする。

10

【0042】

BDD の各ノードは、当該ノードを根ノードとする部分 BDD を表現しており、部分 BDD は 1 つの論理関数を表現している。図 1 に示す例では、例えば、ノード n_2 を根ノードとする部分 BDD は、変数 x_2 及び x_3 に対して定義される部分論理関数 $x_2 \cdot x_3$ を表現している。なお、第 1 終端ノードは BDD によって表現される論理関数の真偽値が 0 であることに対応し、第 2 終端ノードは BDD によって表現される論理関数の真偽値が 1 であることに対応するものとする。

20

【0043】

なお、以降では、BDD のノードは B 個存在するものとし、各ノードを b_1, \dots, b_B と表す。また、 b_1 を根ノード、 b_B を第 2 終端ノードとし、任意の 2 つのノード b_i 及び b_j に対して、 $i < j$ ならば b_i は b_j の子ノードにはなり得ないものとする。

【0044】

BDD は、各ノードについて、（ノードの ID、ラベル、 h_i 枝の指すノードの ID、 l_o 枝の指すノードの ID）の 4 つの組で表現できる。図 1 に示す BDD は 6 つノードを持つため、

【0045】

【数 9】

30

$$[(n1, 1, n3, n2), (n2, 2, n4, n5), (n3, 2, n6, n4), (n4, 3, n6, n5), (n5, \perp, -, -), (n6, \top, -, -)]$$

と表現することができる。

【0046】

< Apply 演算 >

40

論理関数 f を表現する BDD を $Z(f)$ 、論理関数 g を表現する BDD を $Z(g)$ として、論理関数 f と g との間に二項演算を適用することによって得られる論理関数 $f \cdot g$ 及び $f + g$ をそれぞれ表現する BDD を $Z(f \cdot g)$ 及び $Z(f + g)$ と表すものとする。 $Z(f)$ 及び $Z(g)$ から $Z(f \cdot g)$ や $Z(f + g)$ を求める演算は、Apply 演算と呼ばれる。Apply 演算は、 $Z(f)$ 及び $Z(g)$ の大きさに比例する演算時間で実行できることが知られている。なお、Apply 演算については上記の参考文献 1 を参照されたい。

【0047】

< 生成装置 10 >

次に、本発明の実施の形態に係る生成装置 10 について説明する。

50

【 0 0 4 8 】

機能構成

まず、本発明の実施の形態における生成装置 10 の機能構成について、図 2 を参照しながら説明する。図 2 は、本発明の実施の形態における生成装置 10 の機能構成の一例を示す図である。

【 0 0 4 9 】

図 2 に示すように、本発明の実施の形態における生成装置 10 は、生成処理部 100 を有する。生成処理部 100 は、生成装置 10 にインストールされた 1 以上のプログラムが CPU (Central Processing Unit) 等を実行させる処理により実現される。

【 0 0 5 0 】

生成処理部 100 は、背景知識 B と、訓練例の集合 \mathcal{P}^+ 及び \mathcal{P}^- と、仮説 \mathcal{H} に含まれる節の集合 P とを入力する。ここで、訓練例は全て基礎単位節であり、背景知識 B、集合 \mathcal{P}^+ 、集合 \mathcal{P}^- 及び集合 P は有限集合であるものとする。また、集合 P に含まれる節は全て縮小確定節であり、集合 P に含まれる縮小確定節の数を N とする。なお、集合 \mathcal{P}^+ は正例の訓練例の集合であり、集合 \mathcal{P}^- は負例の訓練例の集合である。

【 0 0 5 1 】

このとき、生成処理部 100 は、入力された集合 \mathcal{P}^+ 及び \mathcal{P}^- と背景知識 B とに基づいて、上記の式 1 及び式 2 が成立するような仮説 \mathcal{H} の集合を求める。なお、仮説 \mathcal{H} は集合 P の部分集合である。

【 0 0 5 2 】

本発明の実施の形態では、仮説 \mathcal{H} を N 次元の 2 値ベクトル x を用いて表現する。2 値ベクトル x の i 番目の成分を x_i とする。そして、集合 P に含まれる i 番目の縮小確定節が仮説 \mathcal{H} に含まれる場合は $x_i = 1$ 、 i 番目の縮小確定節が仮説 \mathcal{H} に含まれない場合は $x_i = 0$ とする。この N 次元 2 値ベクトル x によって仮説 \mathcal{H} を表現することで、仮説 \mathcal{H} の集合は論理関数として表現できる。すなわち、仮説 \mathcal{H} を表す 2 値ベクトル x が帰納論理プログラミングの問題の解である場合は $f(x) = 1$ 、解でない場合は $f(x) = 0$ となるような論理関数 f は、全ての解の集合を表現していると思ふことができる。

【 0 0 5 3 】

したがって、この 2 値ベクトル x を構成する各変数 x_i を、BDD を表現する変数とみれば（すなわち、BDD の各ノードに付与される i 個のラベルがそれぞれ各変数 x_i を表すとすれば）、論理関数 f を表現する BDD によって、仮説 \mathcal{H} の集合を表現することができる。このとき、BDD の根ノードから第 2 終端ノードまでに至る経路の各々が、帰納論理プログラミングの問題の解となる仮説を表す。一方で、BDD の根ノードから第 1 終端ノードまでに至る経路の各々が、帰納論理プログラミングの問題の解とならない仮説を表す。

【 0 0 5 4 】

このことは、BDD の各経路に対応する変数の割り当ては、当該経路に対応する仮説の索引と捉えることができることを意味する。

【 0 0 5 5 】

すなわち、生成処理部 100 は、入力された集合 \mathcal{P}^+ 及び \mathcal{P}^- と背景知識 B とに基づいて、BDD $Z(h)$ を構築する。そして、生成処理部 100 は、構築した BDD $Z(h)$ を出力する。この $Z(h)$ の根ノードから第 2 終端ノードまでに至る経路に対応する変数の割り当てが、帰納論理プログラミングの解である仮説 \mathcal{H} の索引である。したがって、生成処理部 100 は、入力された集合 \mathcal{P}^+ 及び \mathcal{P}^- と背景知識 B とに基づいて、BDD $Z(h)$ を構築することにより、帰納論理プログラミングの解である仮説 \mathcal{H} の索引を生成するということもできる。

【 0 0 5 6 】

なお、生成処理部 100 は、帰納論理プログラミングの解である仮説 \mathcal{H} の索引として、構築した BDD $Z(h)$ を出力しても良いし、この BDD $Z(h)$ の根ノードから第 2 終端ノードまでに至る経路に対応する変数の割り当ての集合を出力しても良い。

10

20

30

40

50

【0057】

ここで、生成処理部100には、第1仮説集合生成部101と、第2仮説集合生成部102と、第3仮説集合生成部103とが含まれる。

【0058】

第1仮説集合生成部101は、背景知識Bと、訓練例の集合 Σ^+ と、集合Pとを入力して、全ての基礎原子論理式 $E \in \Sigma^+$ について、上記の式1を満たす仮説 Σ_1 の集合に対応する論理関数を表現するBDDを構築する。すなわち、 Σ^+ に基礎原子論理式がM個含まれるとした場合、 i ($i = 1, \dots, M$) 毎に、第1仮説集合生成部101は、 i 番目の基礎原子論理式 E_i に対して、

【0059】

【数10】

$$B \cup \Sigma_1 \models E_i$$

となるような仮説 Σ_1 の集合を表現する論理関数 f_i を表すBDD $Z(f_i)$ を構築する。BDDの構築方法については後述する。なお、 Σ^+ に含まれる訓練例は全て基礎単位節であることから、これらは全て基礎原子論理式である。

【0060】

第2仮説集合生成部102は、背景知識Bと、訓練例の集合 Σ^- と、集合Pとを入力して、全ての原子論理式 $E \in \Sigma^-$ について、上記の式1を満たす仮説 Σ_2 の集合に対応する論理関数を表現するBDDを構築する。すなわち、 Σ^- に基礎原子論理式がK個含まれるとした場合、 i ($i = 1, \dots, K$) 毎に、第2仮説集合生成部102は、 i 番目の基礎原子論理式 E_i に対して、

【0061】

【数11】

$$B \cup \Sigma_2 \models E_i$$

となるような仮説 Σ_2 の集合を表現する論理関数 g_i を表すBDD $Z(g_i)$ を構築する。BDDの構築方法については後述する。なお、 Σ^- に含まれる訓練例は全て基礎単位節であることから、これらは全て基礎原子論理式である。

【0062】

ここで、上記では、負例である訓練例 $E_i \in \Sigma^-$ に対しても上記の式1を満たす Σ_2 の集合に対応する論理関数 g_i を表すBDD $Z(g_i)$ を構築した。これは、後述する式3において、各論理関数 g_i に対して否定を示す論理記号(\neg)を付与するためである。ただし、後述する式3において、各論理関数 g_i に対して否定を示す論理記号(\neg)を付与しない場合には、第2仮説集合生成部102は、上記の式2を満たす仮説 Σ_2 の集合に対応する論理関数を表現するBDDを構築しても良い。

【0063】

第3仮説集合生成部103は、第1仮説集合生成部101で構築した $Z(f_i)$ と、第

10

20

30

40

50

2 仮説集合生成部 102 で構築した $Z(g_i)$ とを入力して、これらの BDD の Apply 演算を行うことにより、以下の式 3 に示す論理式 h を表す BDD $Z(h)$ を構築する。

【0064】
【数12】

$$h = \left(\bigwedge_{i=1}^M f_i \right) \wedge \left(\bigwedge_{i=1}^K \neg g_i \right) \quad \dots(\text{式3})$$

10

処理の流れ

次に、本発明の実施の形態における生成処理部 100 が実行する処理の流れについて、図 3 を参照しながら説明する。図 3 は、本発明の実施の形態における生成処理部 100 が実行する処理の流れの一例を示すフローチャートである。なお、以降では、背景知識 B と、訓練例の集合 \mathcal{D}^+ 及び \mathcal{D}^- と、集合 P とが生成処理部 100 に入力されたものとする。

【0065】

ステップ S101：生成処理部 100 の第 1 仮説集合生成部 101 は、背景知識 B と、正例の訓練例の集合 \mathcal{D}^+ と、集合 P とを入力して、 $i = 1, \dots, M$ に対して、上述した $Z(f_i)$ を構築する。

20

【0066】

ここで、BDD $Z(f_i)$ の構築方法について説明する。以降では、 f_i の添字 i を固定して、単に「 f 」と表し、 $Z(f)$ の構築方法について説明する。

【0067】

或る基礎原子論理式 E を論理的帰結とするような仮説の集合を表現する論理関数を $[E]$ とする。また、集合 P に含まれる各縮小確定節に対して添字 i ($i = 1, \dots, N$) が付与されているものとして、集合 P に含まれる各縮小確定節 A, B_1, \dots, B_n のうち、或る代入 θ に対して $E = A \theta$ を満たすような縮小確定節の添字の集合を J_E とする。

30

すると、 $[E]$ は、

【0068】

【数13】

$$[E] = \bigvee_{i \in J_E} \left[x_i \wedge \left(\bigwedge_{j=1}^{n_i} [B_j \theta_i] \right) \right] \quad \dots(\text{式4})$$

40

となる。ここで、 θ_i は i 番目の縮小確定節に対して $E = A \theta_i$ となるような代入を表す。このような代入は各縮小確定節に対して一意に決定される。また、 n_i は i 番目の縮小確定節を表す原子論理式 B_1, \dots, B_n の数である。 i 番目の縮小確定節は、原子論理式 A, B_1, \dots, B_n を用いて、 $A \theta_i, B_1 \theta_i, \dots, B_n \theta_i$ と表される（ただし、「 n_i 」は、実際には「 i 」を下付きで表した「 n_i 」である。）。

【0069】

上記の式 4 は、論理関数 $[E]$ が論理関数 $[B_j \theta_i]$ により再帰的に求められることを表している。縮小確定節の性質により、 $B_j \theta_i$ は常に基礎原子論理式となり、かつ、その大きさ $|B_j \theta_i|$ は常に $|E|$ より小さくなる。他方で、背景知識 B と、正例の集

50

合⁺と、集合Pとはいずれも有限集合であるため、これらの集合に含まれる関数記号、定数記号、述語記号も有限である。このため、これらの関数記号、定数記号、述語記号によって構成される基礎原子論理式のうち、⁺に含まれる最大の基礎原子論理式よりも小さいものの集合も常に有限となる。このような大きさが或る値以下の各基礎原子論理式Eについて、論理関数[E]を表すBDDを、上記の式4により再帰的にApply演算を実行して構築していくことによって、⁺に含まれる各原子論理式Eについて論理関数f = [E]を表すBDD Z(f)を構築することができる。

【0070】

ステップS102：生成処理部100の第2仮説集合生成部102は、背景知識Bと、負例の訓練例の集合⁻と、集合Pとを入力して、 $i = 1, \dots, K$ に対して、上述したZ(g_i)を構築する。

10

【0071】

ここで、BDD Z(g_i)の構築方法について説明する。以降では、g_iの添字iを固定して、単に「g」と表し、Z(g)の構築方法について説明する。なお、Z(g)の構築方法は、上述したZ(f)の構築方法と同様であるため、簡略化して説明する。

【0072】

或る基礎原子論理式Eを論理的帰結とするような仮説の集合を表現する論理関数を[E]とする。また、集合Pに含まれる各縮小確定節A₁, ..., A_nのうち、或る代入_iに対してE = A_iを満たすような縮小確定節の添字の集合をJ_Eとする。すると、[E]は、上記の式4となる。

20

【0073】

また、負例の集合⁻も有限集合であるため、背景知識B、負例の集合⁻及び集合Pに含まれる関数記号、定数記号、述語記号によって構成される基礎原子論理式のうち、⁻に含まれる最大の基礎原子論理式よりも小さいものの集合も常に有限となる。したがって、このような大きさが或る値以下の各基礎原子論理式Eについて、論理関数[E]を表すBDDを、上記の式4により再帰的にApply演算を実行して構築していくことによって、⁻に含まれる各原子論理式Eについて論理関数g = [E]を表すBDD Z(g)を構築することができる。

【0074】

ステップS103：生成処理部100の第3仮説集合生成部103は、第1仮説集合生成部101で構築したZ(f_i)と、第2仮説集合生成部102で構築したZ(g_i)とを入力して、これらのBDDのApply演算を行うことにより、上記の式3に示す論理式hを表すBDD Z(h)を構築する。

30

【0075】

これにより、生成処理部100により、帰納論理プログラミングの解である仮説⁺の索引として、Z(h)又は当該Z(h)の根ノードから第2終端ノードまでに至る経路に対応する変数の割り当ての集合が出力される。

【0076】

以上のように、本発明の実施の形態における生成装置10では、帰納論理プログラミングの解である仮説⁺の索引の集合を、BDD又は当該BDDの根ノードから第2終端ノードまでに至る経路に対応する変数の割り当ての集合として出力することができる。このため、本発明の実施の形態における生成装置10によれば、膨大な数になる可能性がある帰納論理プログラミングの解の集合をBDDとして圧縮・索引化して全列挙することができるようになる。このように全ての解の集合をBDDとして索引化して表現することで、例えば、これらの解の中から所望の条件を満たす解を選び出して利用する等といった事も容易に行うことができるようになる。

40

【0077】

ハードウェア構成

最後に、本発明の実施の形態における生成装置10のハードウェア構成について、図4を参照しながら説明する。図4は、本発明の実施の形態における生成装置10のハードウ

50

エア構成の一例を示す図である。

【0078】

図4に示すように、本発明の実施の形態における生成装置10は、入力装置201と、表示装置202と、外部I/F203と、RAM(Random Access Memory)204と、ROM(Read Only Memory)205と、CPU206と、通信I/F207と、補助記憶装置208とを有する。これら各ハードウェアは、それぞれがバスBを介して通信可能に接続されている。

【0079】

入力装置201は、例えばキーボードやマウス、タッチパネル等であり、ユーザが各種操作を入力するのに用いられる。表示装置202は、例えばディスプレイ等であり、生成装置10の処理結果を表示する。なお、生成装置10は、入力装置201及び表示装置202の少なくとも一方を有していなくても良い。

10

【0080】

外部I/F203は、外部装置とのインタフェースである。外部装置には、記録媒体203a等がある。生成装置10は、外部I/F203を介して、記録媒体203a等の読み取りや書き込みを行うことができる。記録媒体203aには、生成装置10が有する各機能を実現するプログラム等が記録されていても良い。

【0081】

記録媒体203aには、例えば、フレキシブルディスク、CD(Compact Disc)、DVD(Digital Versatile Disk)、SDメモ리카ード(Secure Digital memory card)、USB(Universal Serial Bus)メモ리카ード等がある。

20

【0082】

RAM204は、プログラムやデータを一時保持する揮発性の半導体メモリである。ROM205は、電源を切ってもプログラムやデータを保持することができる不揮発性の半導体メモリである。ROM205には、例えば、OS(Operating System)設定やネットワーク設定等が格納されている。

【0083】

CPU206は、ROM205や補助記憶装置208等からプログラムやデータをRAM204上に読み出して処理を実行する演算装置である。

【0084】

通信I/F207は、生成装置10を通信ネットワークに接続するためのインタフェースである。生成装置10が有する各機能を実現するプログラムは、通信I/F207を介して、所定のサーバ装置等から取得(ダウンロード)されても良い。

30

【0085】

補助記憶装置208は、例えばHDD(Hard Disk Drive)やSSD(Solid State Drive)等であり、プログラムやデータを格納している不揮発性の記憶装置である。補助記憶装置208に格納されているプログラムやデータには、例えば、OS、当該OS上において各種機能を実現するアプリケーションプログラム、生成装置10が有する各機能を実現するプログラム等がある。

【0086】

本発明の実施の形態における生成装置10は、図4に示すハードウェア構成を有することにより、上述した各種処理を実現することができる。なお、図4では、本発明の実施の形態における生成装置10が1台の装置で実現される場合について説明したが、これ限られない。本発明の実施の形態における生成装置10は、複数台の装置で実現されていても良い。

40

【0087】

本発明は、具体的に開示された上記の実施形態に限定されるものではなく、特許請求の範囲から逸脱することなく、種々の変形や変更が可能である。

【符号の説明】

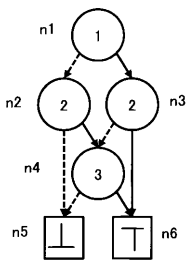
【0088】

50

- 1 0 生成装置
- 1 0 1 第1仮説集合生成部
- 1 0 2 第2仮説集合生成部
- 1 0 3 第3仮説集合生成部

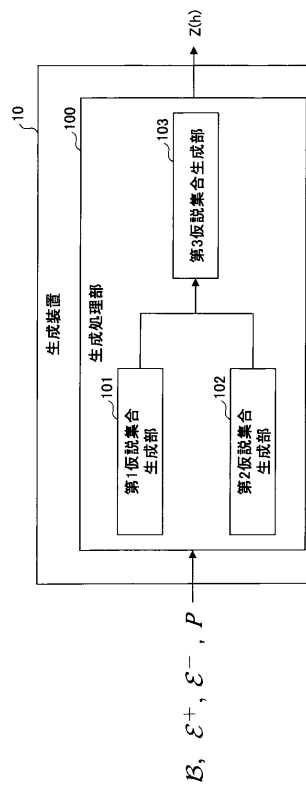
【 図 1 】

二分決定図の一例を示す図



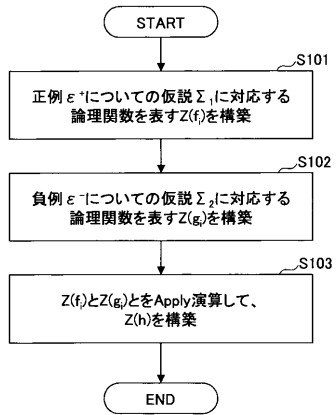
【 図 2 】

本発明の実施の形態における生成装置の機能構成の一例を示す図



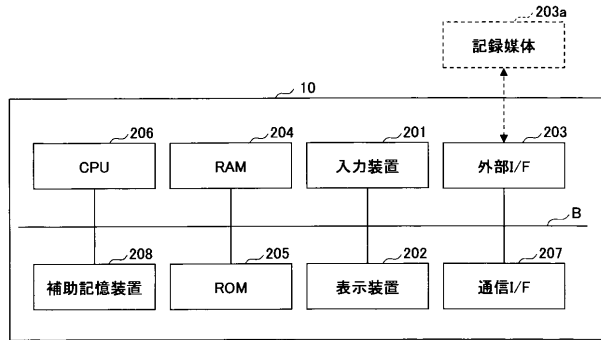
【 図 3 】

本発明の実施の形態における生成処理部が実行する処理の流れの一例を示すフローチャート



【 図 4 】

本発明の実施の形態における生成装置のハードウェア構成の一例を示す図



フロントページの続き

- (72)発明者 山本 章博
京都府京都市左京区吉田本町3番地1 国立大学法人京都大学内
- (72)発明者 新藤 光
京都府京都市左京区吉田本町3番地1 国立大学法人京都大学内